

## Trabalho 2- EE400

Um dos circuitos mais conhecidos é o circuito RC, composto por um resistor e um capacitor em série. Este circuito possui um comportamento interessante devido ao capacitor, responsável por armazenar parte da energia em campo elétrico. Podemos ver na Figura 1 um esquema mostrando um circuito RC, que possui uma entrada  $V_{in}$  e uma saída de tensão  $V_C$ , em cima do capacitor.

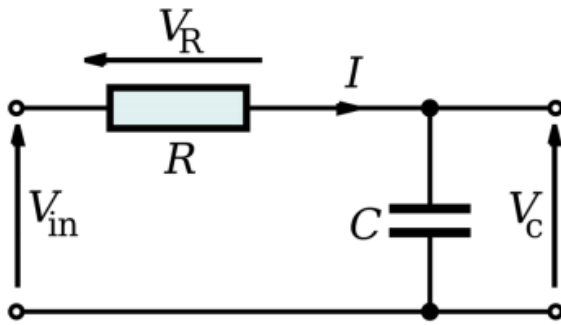


Figura 1 – Circuito RC

A partir da Lei de Kirchhoff das correntes, podemos equacionar o circuito igualando as correntes que passam pelo capacitor e pelo resistor. Para isso, é preciso saber como elas são calculadas. A corrente que passa pelo resistor <sup>[1]</sup> é calculada como segue na Equação 1. Já para o capacitor <sup>[2]</sup>, podemos utilizar a Equação 2 para chegar na expressão da corrente como segue na Equação 3.

$$I_R = \frac{V_R}{R} = \frac{V_{in} - V_C}{R} \quad \text{Equação 1}$$

$$q(t) = C * V_C(t) \quad \text{Equação 2}$$

$$I_C = \frac{dq(t)}{dt} = C * \frac{dV_C(t)}{dt} \quad \text{Equação 3}$$

Agora, podemos igualar as expressões das correntes, visto que o resistor e o capacitor estão em série, ficando como segue na Equação 4.

$$I_C = C * \frac{dV_C(t)}{dt} = \frac{V_{in} - V_C}{R} = I_R \quad \text{Equação 4}$$

Podemos reescrever a Equação 4 como segue na Equação 5.

$$\frac{dV_C(t)}{dt} + \frac{V_C(t)}{RC} = \frac{V_{in}(t)}{RC} \quad \text{Equação 5}$$

Essa equação diferencial pode ser resolvida utilizando o conceito de fator integrante <sup>[3]</sup>. A teoria do cálculo diz que, dada uma equação diferencial escrita da forma  $y' + a(x)y = b(x)$ , podemos multiplicar seus termos por um fator integrante  $\mu(x)$  de tal forma que ficamos com  $\mu(x)y' + \mu(x)a(x)y = \mu(x)b(x)$ . Com isso, olhando apenas para os termos do lado esquerdo da

equação, se  $\mu(x)a(x) = \mu'(x)$ , podemos simplificar  $\mu(x)y' + \mu(x)a(x)y = (\mu(x)y(x))'$ , pela regra da derivação do produto de duas funções. Com isso, temos uma equação resultante como segue na Equação 6, que pode ser resolvida por uma integração.

$$(\mu(x)y(x))' = \mu(x)b(x) \quad \text{Equação 6}$$

Para utilizar essa técnica, precisamos assumir que  $\mu(x)a(x) = \mu'(x)$ , e isso acontece se  $\mu(x) = e^{\int a(x)dx}$ .

Portanto, podemos resolver a Equação 5 utilizando esse conceito de fator integrante, pois a equação é da forma  $y' + a(x)y = b(x)$ . Podemos notar que  $y(x) = V_C(t)$ , que  $a(x) = \frac{1}{RC}$  e que  $b(x) = \frac{V_{in}(t)}{RC}$ .

Para resolver a equação diferencial, primeiro calculei o fator integrante, como segue na Equação 7. Note que descartei a constante de integração, pois ela não interfere no resultado, já que ela multiplica todos os termos da equação.

$$\mu(t) = e^{\int a(t)dt} = e^{\int \frac{1}{RC}dt} = e^{\frac{t}{RC}} \quad \text{Equação 7}$$

Em seguida, a partir da Equação 6, ficamos com o que segue na Equação 8.

$$\frac{d(e^{\frac{t}{RC}} * V_C(t))}{dt} = e^{\frac{t}{RC}} * \frac{V_{in}(t)}{RC} \quad \text{Equação 8}$$

A partir da Equação 8, integrei dos dois lados da equação e obtive a Equação 9. Para simplificar os cálculos, assumi que  $V_C(0) = 0$ . Dessa forma, a constante de integração da integral do lado esquerdo é nula. Para não confundir a variável  $t$  que está sendo integrada com a variável  $t$  do limite de integração, chamei a variável de dentro da integral de  $x$ , integrando em  $dx$ .

$$\int d\left(e^{\frac{t}{RC}} * V_C(t)\right) = \int_0^t e^{\frac{x}{RC}} * \frac{V_{in}(x)}{RC} dx$$

$$e^{\frac{t}{RC}} * V_C(t) + C = \frac{1}{RC} \int_0^t e^{\frac{x}{RC}} * V_{in}(x) dx$$

$$e^{\frac{t}{RC}} * V_C(t) = \frac{1}{RC} \int_0^t e^{\frac{x}{RC}} * V_{in}(x) dx \quad \text{Equação 9}$$

Por fim, podemos isolar  $e^{\frac{t}{RC}}$  obtendo uma expressão de  $V_C(t)$  em função de  $V_{in}(t)$ , como segue na Equação 10.

$$V_C(t) = \frac{e^{-\frac{t}{RC}}}{RC} \int_0^t e^{\frac{x}{RC}} * V_{in}(x) dx \quad \text{Equação 10}$$

Vamos assumir, então, que  $V_{in}(t) = e^{j\omega t}$ , ou seja, que a onda de entrada é uma exponencial complexa de frequência de oscilação arbitrária  $\omega$ . A partir da integral da Equação 10, podemos obter uma expressão fechada para  $V_C(t)$ , como segue na Equação 11.

$$V_c(t) = \frac{e^{-\frac{t}{RC}}}{RC} \int_0^t e^{\frac{x}{RC}} * e^{j\omega x} dx$$

$$V_c(t) = \frac{e^{-\frac{t}{RC}}}{RC} \int_0^t e^{x(j\omega + \frac{1}{RC})} dx$$

$$V_c(t) = \frac{e^{-\frac{t}{RC}}}{RC} * \frac{1}{(j\omega + \frac{1}{RC})} * \left( e^{t(j\omega + \frac{1}{RC})} - 1 \right)$$

$$V_c(t) = \frac{e^{-\frac{t}{RC}}}{RCj\omega + 1} * \left( e^{j\omega t} * e^{\frac{t}{RC}} - 1 \right)$$

$$V_c(t) = \frac{e^{j\omega t}}{RCj\omega + 1} - \frac{e^{-\frac{t}{RC}}}{RCj\omega + 1} \quad \text{Equação 11}$$

Podemos notar que a Equação 11 é composta por dois termos: um que oscila com velocidade angular  $\omega$  (de forma similar a  $V_{in}(t)$ ), e outro que decai exponencialmente (seguindo a função  $e^{-\frac{t}{RC}}$ ). O primeiro corresponde ao que se chama resposta forçada do circuito, que é a resposta do circuito com a fonte de tensão ligada. Já o segundo corresponde à resposta homogênea do circuito, que é a resposta a partir das condições iniciais, sem fontes ligadas.

O modelo físico que descreve o comportamento do circuito diz que a resposta do circuito é a soma das respostas homogênea e forçada. Porém, para fim de estudos propostos neste trabalho, vamos analisar somente a resposta forçada, que fisicamente corresponde à resposta do circuito depois do decaimento da resposta homogênea. A partir desse raciocínio, escrevi uma nova expressão para  $V_c(t)$ , que corresponde à Equação 12.

$$V_c(t) = \frac{e^{j\omega t}}{RCj\omega + 1} \quad \text{Equação 12}$$

A partir das expressões de  $V_c(t)$  e de  $V_{in}(t)$ , podemos calcular o ganho do circuito, definido pela razão entre os módulos de  $V_c(t)$  e de  $V_{in}(t)$ . Fixando valores para R e C, podemos calcular uma expressão para o ganho em função de  $\omega$ . Fazendo isso, obtive o resultado expresso na Equação 13.

$$g(\omega) = \frac{|e^{j\omega t}|}{|RCj\omega + 1|} = \left| \frac{1}{RCj\omega + 1} \right| \quad \text{Equação 13}$$

A partir do resultado da Equação 13, utilizei um programa em Python para plotar o ganho para diferentes valores de R e de C. Podemos ver o resultado na Figura 2.

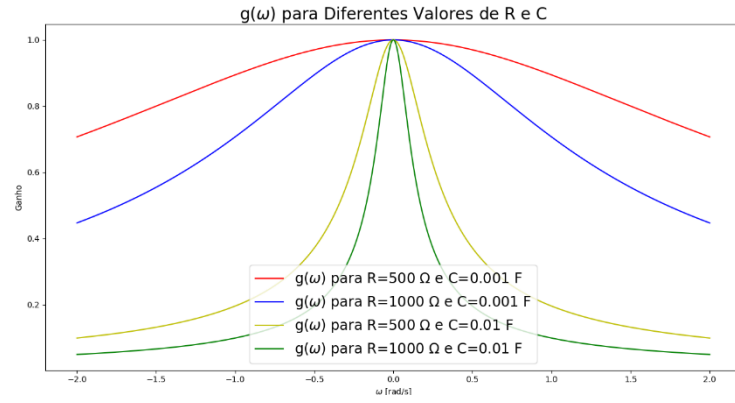


Figura 2 –  $g(\omega)$  para diferentes valores de R e C.

Da Figura 2, podemos notar que, independentemente dos valores de R e de C, quanto maior o módulo de  $\omega$ , menor é o ganho. Isso pode ser facilmente observado na Equação 13, em que R e C aparecem no denominador. Outro ponto importante é que, fixando um valor de C, quanto maior for R, menor é o ganho, como observado ao comparar as curvas azul e vermelha. Analogamente, fixando um valor de R, quanto maior for C, menor é o ganho, como pode ser observado pelas curvas vermelha e amarela.

De modo geral, para cada valor de  $\omega$ , o que importa para o ganho é o valor do produto de R por C. Esse produto é inversamente proporcional ao ganho, pois RC aparece no denominador da expressão que o caracteriza (Equação 13).

Uma outra forma de analisar esse resultado é a partir de um Diagrama de Bode <sup>[4]</sup>, que expressa a magnitude do ganho em um gráfico de escala logarítmica. Esse resultado pode ser visualizado na Figura 3.

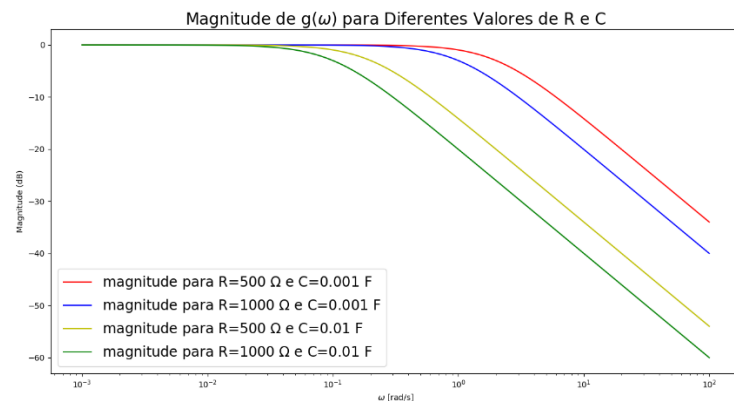


Figura 3 – Diagrama de Bode do circuito RC

Como podemos observar na Figura 3, para todos os valores do produto RC, existe um intervalo para o qual a magnitude do ganho é constante e próxima de 0. Como a magnitude é dada por  $M = 20 * \log_{10} \frac{V_c}{V_{in}}$ , esse valor 0 se dá porque  $20 * \log_{10} \frac{V_c}{V_{in}} = 0$ , o que só é possível se  $\frac{V_c}{V_{in}} = 1$ . Portanto, para baixas frequências, o ganho é unitário, ou seja,  $V_c = V_{in}$ .

Ainda da Figura 3, podemos notar que, quanto menor for o produto RC, maior é esse intervalo, como é o caso da curva vermelha. Esse diagrama nos mostra que, após um certo valor de frequência, a magnitude do ganho do circuito RC decai. Portanto, podemos concluir que o circuito RC funciona como um filtro passa-baixa, que permite a passagem de baixas frequências e atenua a passagem de altas frequências.

Vamos, agora, fazer uma análise de  $V_C(t)$  para  $V_{in}(t)$  sendo uma onda quadrada. Para tanto, para um período T qualquer, deduzi os coeficientes de Fourier para representar essa onda pela Série de Fourier. Escolhi a série de Fourier pois ela expressa muito bem funções periódicas e é válida para funções com descontinuidades, como é o caso.

Primeiramente, é importante ressaltar que a análise foi feita com base na forma de onda. Por esse motivo, utilizei uma onda quadrada com valores de tensão arbitrários. Sendo assim, escolhi uma onda que oscila entre 1V e 0V. Os coeficientes  $a_n$  foram obtidos a partir da Equação 14, o coeficiente  $a_0$  (nível DC) foi obtido como segue na Equação 15 (valor médio de  $V_{in}$ ) e a onda quadrada  $V_{in}$  é expressa como segue na Equação 16.

$$a_n = \frac{1}{T} * \oint V_{in}(t) * e^{-j\omega n t} dt \quad \text{Equação 14}$$

$$a_0 = \frac{1}{T} \int_0^T V_{in}(t) dt = \frac{1}{T} \left[ \int_0^{\frac{T}{2}} 1 dt + \int_{\frac{T}{2}}^T 0 dt \right] = \frac{1}{T} * t \Big|_0^{\frac{T}{2}} = \frac{\frac{T}{2}}{T} = \frac{1}{2} \quad \text{Equação 15}$$

$$V_{in}(t) = a_0 + \sum_{n=1}^{\infty} a_n * e^{j\omega n t} \quad \text{Equação 16}$$

A partir da Equação 14, calculei os coeficientes  $a_n$  e obtive uma expressão fechada para eles, como segue na Equação 17.

$$\begin{aligned} a_n &= \frac{1}{T} * \oint V_{in}(t) * e^{-j\omega n t} dt \\ &= \frac{2}{T} * \left[ \int_0^{\frac{T}{2}} 1 * e^{-j\omega n t} dt + \int_{\frac{T}{2}}^T 0 * e^{-j\omega n t} dt \right] \\ &= \frac{2}{T} * \int_0^{\frac{T}{2}} e^{-j\omega n t} dt = \frac{2}{T} * \left( \frac{-1}{j\omega n} * e^{-j\omega n t} \right) \Big|_0^{\frac{T}{2}} \\ &= \frac{2}{T} * \left( \frac{1}{j\omega n} - \frac{1}{j\omega n} * e^{-\frac{jn\omega T}{2}} \right) \\ a_n &= \frac{2}{j\omega n T} * \left[ 1 - e^{-\frac{jn\omega T}{2}} \right] \quad \text{Equação 17} \end{aligned}$$

Por definição, sabemos que  $\omega = \frac{2\pi}{T}$ , portanto,  $\omega * T = 2\pi$ . A partir disso, podemos reescrever a Equação 17 como segue na Equação 18.

$$\begin{aligned} a_n &= \frac{2}{jn2\pi} * \left[ 1 - e^{-\frac{jn2\pi}{2}} \right] \\ a_n &= \frac{1}{jn\pi} * [1 - e^{-jn\pi}] \quad \text{Equação 18} \end{aligned}$$

Além disso, sabemos que é possível representar  $j$  por  $e^{j\frac{\pi}{2}}$ , já que  $e^{j\frac{\pi}{2}} = \cos\left(\frac{\pi}{2}\right) + j\sin\left(\frac{\pi}{2}\right) = 0 + j$  pela Relação de Euler. Utilizando essa representação, reescrevi a Equação 18 como segue na Equação 19.

$$a_n = \frac{e^{-j\frac{\pi}{2}}}{n\pi} * [1 - e^{-jn\pi}] \quad \text{Equação 19}$$

A partir da Equação 19, da Equação 15 e da Equação 16, podemos escrever  $V_{in}(t)$  contendo a expressão dos seus coeficientes. Essa representação fica como na Equação 20 e expressa a série de Fourier para uma onda quadrada que vai de 0V a 1V, com um período T qualquer.

$$V_{in}(t) = \frac{1}{2} + \sum_{n=1}^{\infty} \frac{e^{-j\frac{\pi}{2}}}{n\pi} * [1 - e^{-jn\pi}] * e^{j\omega n t} \quad \text{Equação 20}$$

Agora que temos a onda quadrada, que é a entrada do circuito, nos resta obter a expressão para a saída do circuito a partir da Equação 10. Para facilitar os cálculos, calculei a resposta  $V_C(t)$  do circuito para  $n = 0$  (nível DC, cálculos detalhados na Equação 21) e calculei a resposta para um  $n > 0$  genérico (cálculos detalhados na Equação 22), para juntar esses termos depois, na forma final de  $V_C(t)$ . Isso é possível por conta do princípio da linearidade, que diz que a resposta a uma entrada A+B é equivalente à soma da resposta da entrada A com a resposta da entrada B.

$$\begin{aligned} \text{Para } n = 0, V_C(t) &= \frac{e^{-\frac{t}{RC}}}{RC} \int_0^t e^{\frac{x}{RC}} * V_{in}(x) dx \\ &= \frac{e^{-\frac{t}{RC}}}{RC} \int_0^t e^{\frac{x}{RC}} * \frac{1}{2} dx \\ &= \frac{1}{2} * \frac{e^{-\frac{t}{RC}}}{RC} * \frac{1}{\frac{1}{RC}} \left( e^{\frac{t}{RC}} - 1 \right) \\ V_C(t) &= \frac{1}{2} * \left( 1 - e^{-\frac{t}{RC}} \right) \quad \text{Equação 21} \end{aligned}$$

$$\text{Para } n > 0, V_C(t) = \frac{e^{-\frac{t}{RC}}}{RC} \int_0^t e^{\frac{x}{RC}} * V_{in}(x) dx$$

$$\begin{aligned}
&= \frac{e^{-\frac{t}{RC}}}{RC} \int_0^t e^{\frac{x}{RC}} * \frac{e^{-j\frac{\pi}{2}}}{n\pi} * [1 - e^{-jn\pi}] * e^{j\omega n x} dx \\
&= \frac{e^{-\frac{t}{RC}}}{RC} * \frac{e^{-j\frac{\pi}{2}}}{n\pi} * [1 - e^{-jn\pi}] * \int_0^t e^{\frac{x}{RC}} * e^{j\omega n x} dx \\
&= \frac{e^{-j\frac{\pi}{2}}}{n\pi} * [1 - e^{-jn\pi}] * \frac{e^{-\frac{t}{RC}}}{RC} \int_0^t e^{x(j\omega n + \frac{1}{RC})} dx \\
&= \frac{e^{-j\frac{\pi}{2}}}{n\pi} [1 - e^{-jn\pi}] * \frac{e^{-\frac{t}{RC}}}{RC} \frac{1}{j\omega n + \frac{1}{RC}} (e^{t(j\omega n + \frac{1}{RC})} - 1) \\
&= \frac{e^{-j\frac{\pi}{2}}}{n\pi} [1 - e^{-jn\pi}] * \frac{e^{-\frac{t}{RC}}}{RC j\omega n + 1} (e^{t(j\omega n + \frac{1}{RC})} - 1) \\
&= \frac{e^{-j\frac{\pi}{2}}}{n\pi} [1 - e^{-jn\pi}] * \frac{(e^{j\omega n t} - e^{-\frac{t}{RC}})}{RC j\omega n + 1} \quad \text{Equação 22}
\end{aligned}$$

Quanto à Equação 21, percebi que a saída  $V_C(t)$  corresponde ao nível DC de entrada somado com um termo que decai com o tempo, proporcional a  $e^{-\frac{t}{RC}}$ . Assim como na Equação 11, o primeiro termo corresponde à resposta forçada do circuito, e o segundo corresponde à resposta homogênea do circuito. Assim como foi feito anteriormente, ignorei este termo que decai com o tempo, para analisar apenas a resposta forçada. Analogamente, a Equação 22 também apresenta um termo proporcional a  $e^{-\frac{t}{RC}}$ , que também foi desconsiderado. Com base nesse raciocínio, reescrevi a Equação 21 como segue na Equação 23, e a Equação 22 como na Equação 24.

$$\text{Para } n = 0, V_C(t) = \frac{1}{2} \quad \text{Equação 23}$$

$$\text{Para } n > 0, V_C(t) = \frac{e^{-j\frac{\pi}{2}}}{n\pi} [1 - e^{-jn\pi}] * \frac{e^{j\omega n t}}{RC j\omega n + 1} \quad \text{Equação 24}$$

Assim, após calculadas as respostas  $V_C(t)$  do circuito para os diferentes valores de  $n$ , obtive uma resposta final  $V_C(t)$  somando todas as  $n$ -ésimas respostas. Esse resultado está expresso na Equação 25.

$$V_C(t) = \frac{1}{2} + \sum_{n=1}^{\infty} \frac{e^{-j\frac{\pi}{2}}}{n\pi} [1 - e^{-jn\pi}] * \frac{e^{j\omega n t}}{RC j\omega n + 1} \quad \text{Equação 25}$$

A partir da Equação 25, podemos analisar um resultado interessante. Quanto ao nível DC da onda de entrada, a saída possui o mesmo nível DC, sem alteração. Já para a componente AC da onda de entrada, a saída produzida é igual a  $V_{in}(t) * \text{ganho}$ , o que está completamente dentro do esperado. Na verdade, até o

nível DC de  $V_C(t)$  corresponde ao nível DC de  $V_{in}(t)$  multiplicado pelo ganho, pois, como a frequência de oscilação é nula (por ser corrente contínua), o ganho é  $\frac{1}{|RCjn+0+1|} = 1$ .

A série de Fourier, por definição, expressa uma onda periódica pela soma infinita de senos e cossenos, que oscilam proporcionalmente à frequência de oscilação fundamental ou às suas  $n$ -ésimas harmônicas. Para cada valor de  $n$ , a série de Fourier calcula seus coeficientes para um múltiplo da sua frequência de oscilação fundamental. Sendo assim, para cada valor de  $n$ , o ganho terá um valor diferente, porque este é calculado com base na frequência de oscilação de cada onda. Isso foi verificado matematicamente a partir da Equação 25, em que a frequência de oscilação  $\omega$  aparece multiplicada por  $n$ .

Agora, com a expressão de  $V_C(t)$  para  $V_{in}(t)$  sendo uma onda quadrada qualquer, podemos estudar sua forma de onda. Inicialmente, precisamos definir seu período  $T$ , o qual eu defini como  $\frac{1}{40\pi}$ , arbitrariamente, de forma que a frequência seja de 40π Hz. Dessa forma, como  $\omega = \frac{2\pi}{T}$ ,  $\omega = \frac{2\pi}{40\pi} = \frac{1}{20}$  rad/s. A partir disso, reescrevi a Equação 25 como segue na Equação 26.

$$V_C(t) = \frac{1}{2} + \sum_{n=1}^{\infty} \frac{e^{-j\frac{\pi}{2}}}{n\pi} [1 - e^{-jn\pi}] * \frac{e^{\frac{jnt}{20}}}{\frac{RCjn}{20} + 1} \quad \text{Equação 26}$$

Com base na Equação 26, fiz um código em Python para analisar o gráfico de  $V_C(t)$ , para diferentes valores de  $R$  e  $C$ , que são os únicos parâmetros livres agora. Variando esses valores, obtive 4 formas diferentes de onda: quadrada, dente-de-serra, triangular e constante. Essas ondas correspondem às Figuras 4, 5, 6 e 7, respectivamente.

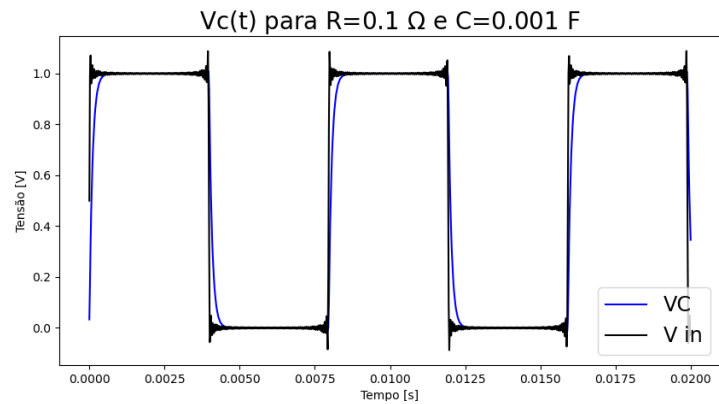


Figura 4 -  $V_C(t)$  para  $R=0.1\Omega$  e  $C=0.001F$

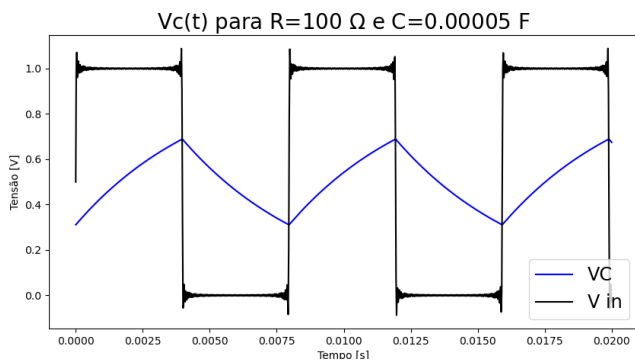


Figura 5 -  $V_C(t)$  para  $R=100\Omega$  e  $C=0.00005F$

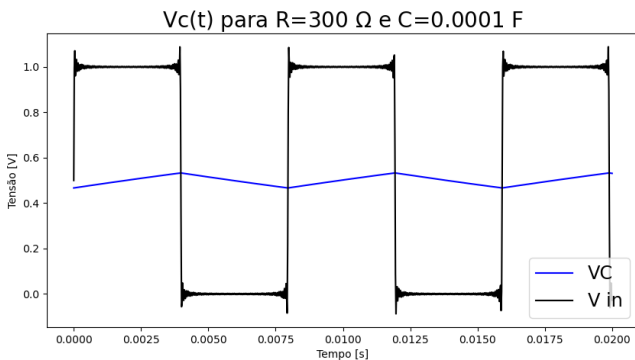


Figura 6 -  $V_C(t)$  para  $R=300\Omega$  e  $C=0.0001F$

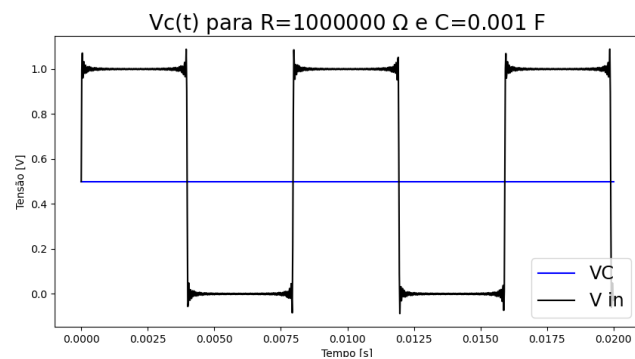


Figura 7 -  $V_C(t)$  para  $R=1000000\Omega$  e  $C=0.001F$

A partir da Figura 4, podemos analisar que, para um valor pequeno do produto  $R \cdot C$ , o ganho é praticamente unitário, já que o denominador de  $\frac{1}{|RCj\omega n + 1|}$  tende a 1.

Para a resposta  $V_C(t)$ , nesse caso, acontece similar ao caso do nível DC, mas é o RC que é pequeno, e não a frequência de oscilação. Por esse motivo,  $V_C(t)$  se assemelha à onda quadrada de entrada.

Já para a Figura 5, podemos interpretar fisicamente a onda dente-de-serra como uma análise do processo de carregamento e descarregamento do capacitor. Basicamente, quando há o pulso da onda quadrada, o capacitor carrega e acumula energia, sendo que seu carregamento é exponencial. Porém, o pulso é relativamente curto, não sendo suficiente para toda sua carga. Quando o pulso acaba, o capacitor passa a descarregar, também exponencialmente.

Quanto à Figura 6, podemos interpretá-la como um subcaso do fenômeno da Figura 5. Ainda podemos ver

o processo de carga e descarga do capacitor. Porém, como a capacitância é maior, o capacitor demora mais para carregar. Por esse motivo, a onda demora mais para se estabilizar. Como ela é cortada rapidamente, a função exponencial foi truncada no começo, em que ela pode ser aproximada por uma reta. Por esse motivo, a onda parece triangular.

Por fim, para a Figura 7, podemos interpretá-la fisicamente como um circuito que dissipa a maior parte da tensão no resistor. Pelo alto valor de resistência, isso fica fácil de confirmar. Dessa forma, a componente AC da onda de entrada é dissipada e resta apenas a componente DC que, como calculada anteriormente, independe de  $R$  e de  $C$ .

Depois todas essas interpretações físicas, podemos interpretar esses resultados sob uma ótica da área de filtros. Como visto anteriormente, o circuito RC funciona como um filtro passa-baixa. Logo, ondas com altas frequências são atenuadas. Apesar de a frequência ser a mesma para as 4 figuras geradas, o valor do produto  $RC$  desloca a frequência de corte, que é definida como a frequência em que o filtro atenua a potência do sinal pela metade. A frequência de corte <sup>[5]</sup> é dada por  $\omega_c = \frac{1}{RC}$ , que é inversamente proporcional ao produto  $RC$ . Isso explica o fato de a onda da Figura 7 permitir a passagem apenas do nível DC, enquanto a onda da Figura 4 permite a passagem de grande parte das componentes AC (a ponto de ainda ser uma onda quadrada).

Para confirmar esses resultados, utilizei um site online que realiza simulações de circuitos elétricos <sup>[6]</sup>. Nas simulações, utilizei os mesmos valores dos componentes elétricos e a mesma onda quadrada que utilizei para a geração das ondas das Figuras 4, 5, 6 e 7. Os resultados estão nas Figura 8, 9, 10 e 11, na ordem correspondente das formas das ondas das figuras anteriores.

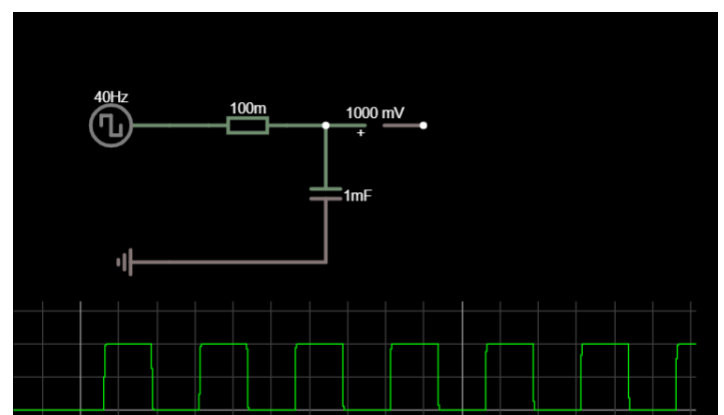


Figura 8 – Simulação do circuito RC com onda de saída quadrada.

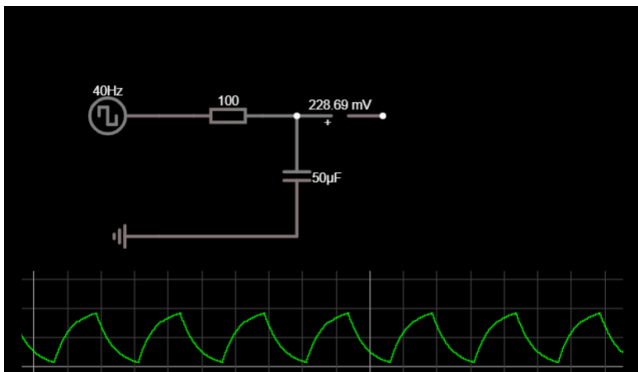


Figura 9 – Simulação do circuito RC com onda de saída dente-de-serra.

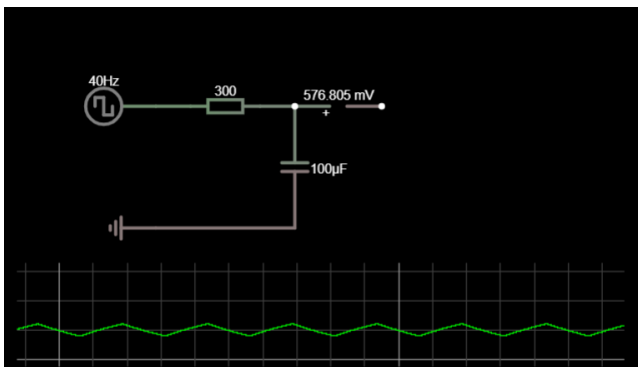


Figura 10 – Simulação do circuito RC com onda de saída triangular.

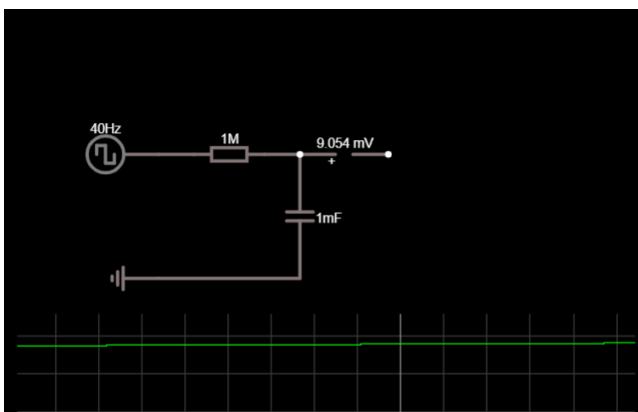


Figura 11 – Simulação do circuito RC com onda de saída constante.

Analisando as Figuras 8, 9, 10 e 11, podemos confirmar os resultados obtidos ilustrados nas Figuras 4, 5, 6 e 7. As formas de onda da simulação foram as mesmas dos gráficos gerados a partir da teoria, ambas produziram ondas de saída praticamente iguais. Sendo assim, podemos concluir que a simulação corrobora a teoria desenvolvida.

Com base no que foi percorrido até aqui, foi possível concluir que o circuito RC apresenta uma saída  $V_C(t)$  que equivale a  $V_{in}(t)$  multiplicado pelo ganho, que pode ser obtido pela fórmula  $\frac{1}{|RCj\omega + 1|}$ . Com base nesse ganho, foi possível observarmos características importantes sobre esse circuito: o seu funcionamento

como filtro passa-baixa, o ganho unitário para entradas DC e a atuação do ganho para entradas AC. Por fim, também observamos que a fórmula do ganho faz com que a onda de saída  $V_C(t)$  possa assumir forma quadrada, dente-de-serra, triangular ou constante, dependendo do valor do ganho (que pode ser alterado a partir dos valores de R e de C), o que foi confirmado a partir das simulações.

## Referências

- [1] Disponível em [Lei de Ohm - Tensão, corrente e resistência elétrica - Embarcados](#), acesso em 29/06/2021
  - [2] Disponível em [Equação i-v do capacitor em ação \(artigo\) | Khan Academy](#), acesso em 29/06/2021
  - [3] Disponível em <http://www.ime.unicamp.br/~valle/Teaching/MA311/Aula01.pdf>, por Marcos Eduardo Valle e Roberto de Almeida Prado. Acesso em 29/06/2021
  - [4] Disponível em [https://en.wikipedia.org/wiki/Bode\\_plot](https://en.wikipedia.org/wiki/Bode_plot). Acesso em 29/06/2021
  - [5] Disponível em [https://caxias.ufrrj.br/images/Lab\\_Didatico/Fisica/FISE\\_XP\\_3/Exp\\_7-Circuitos\\_RC\\_e\\_filtros\\_de\\_frequencia.pdf](https://caxias.ufrrj.br/images/Lab_Didatico/Fisica/FISE_XP_3/Exp_7-Circuitos_RC_e_filtros_de_frequencia.pdf). Acesso em 29/06/2021
  - [6] Disponível em [Circuit Simulator Applet \(falstad.com\)](#), acesso em 29/06/2021
- Link do circuito simulado:  
<https://tinyurl.com/yervnm34>